

ANÁLISIS PRELIMINAR DE LOS DESECHOS DE TALLA DE LOS SITIOS PARAPETO 1, PARAPETO 2 Y PARAPETO 3 DE LAGUNA AZUL (MESETA DE SOMUNCURÁ, RÍO NEGRO)

Alejo Pérez¹

• RESUMEN •

En este trabajo comunicamos los resultados del estudio de desechos de talla correspondientes a los sitios Parapeto 1, Parapeto 2 y Parapeto 3 de la localidad arqueológica Laguna Azul, ubicada en la meseta de Somuncurá. El abordaje de esta clase artefactual se realizó mediante análisis en masa, metodología que facilita el procesamiento de grandes cantidades de desechos. Los resultados obtenidos permitieron comparar la incidencia de cada materia prima en las estructuras estudiadas, así como generar inferencias sobre el aprovechamiento diferencial de las mismas. El Parapeto 3 es el sitio con más baja cantidad de desechos y el conjunto menos fragmentado, lo que posiblemente se deba a una actividad humana inferior respecto a los parapetos 1 y 2. En el Parapeto 3, además, se ven representadas en mayor proporción las últimas etapas de la cadena operativa de producción de artefactos líticos y/o su mantenimiento, en comparación con los otros conjuntos analizados.

Palabras clave: Análisis en masa; Desechos de talla; Laguna Azul; Meseta de Somuncurá; Holoceno tardío.

PRELIMINARY ANALYSIS OF FLAKING DEBRIS OF PARAPETO 1, PARAPETO 2 AND PARAPETO 3 SITES FROM LAGUNA AZUL (SOMUNCURA PLATEAU, RIO NEGRO)

• ABSTRACT •

This work shows the results of the analysis of flaking debris, corresponding to the Parapeto 1, Parapeto 2 and Parapeto 3 sites of the archaeological locality Laguna Azul, located in the Somuncurá plateau. The study of this artifacts was carried out through mass analysis, a methodology that facilitates the processing of large amounts of flaking debris. The results obtained allowed to compare the incidence of each raw material in the structures studied, and to generate inferences about their differential use as well. Parapeto 3 has the lowest amount of debris and the least fragmented set, which is possibly due to lower human activity, compared to Parapeto 1 and Parapeto 2. In Parapeto 3, in addition, the last stages of the operational production chain of lithic artifacts and/or their maintenance are represented in greater proportion, in comparison to the other analyzed assemblages.

Keywords: Mass analysis; Flaking debris; Laguna Azul; Somuncurá plateau; Late Holocene.

¹División de Arqueología, Facultad de Ciencias Naturales y Museo, Universidad Nacional de La Plata. Paseo del Bosque s/n (1900), La Plata, Buenos Aires, Argentina. ORCID ID: <https://orcid.org/0000-0001-5242-1155>. E-mail: perezalejo1996@gmail.com.

Recibido el día 18 de junio de 2022. Aceptado el día 19 de septiembre de 2022.

Pérez, A. 2022. Análisis preliminar de los desechos de parapeto 3 de Laguna Azul (Meseta de Somuncurá, Río Negro). La Zaranda de Ideas. Revista de Jóvenes Investigadores 20(1), 40-49.

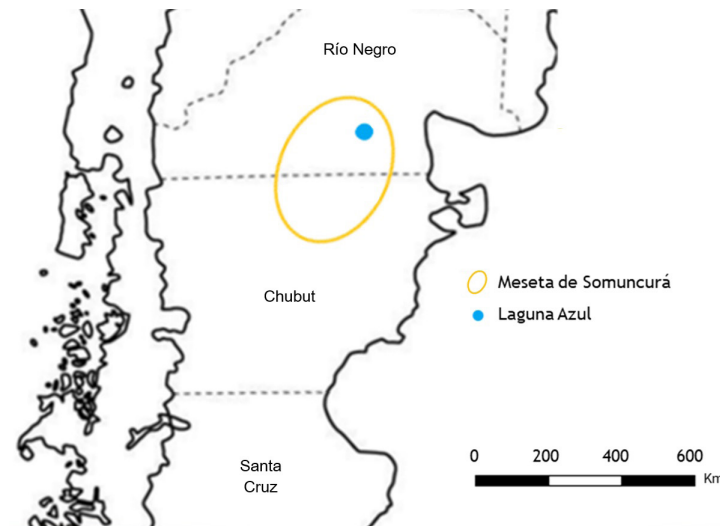
Licencia Creative Commons Atribución-NoComercial-CompartirIgual 4.0 Internacional (CC-BY-NC-SA).

INTRODUCCIÓN

El presente trabajo se enmarca dentro del Proyecto de Investigación Plurianual (PIP) CONICET 00153 "El uso de corredores y lugares en las mesetas patagónicas del Deseado y Somuncurá. Un estudio regional de paisajes arqueológicos de los cazadores-recolectores a lo largo del Holoceno", dirigido por la Dra. Laura Miotti y codirigido por el Dr. Darío Hermo; así como del proyecto 11/N831 de la Universidad Nacional de La Plata (UNLP) "El uso de los recursos líticos en ambientes mesetarios de Patagonia argentina. Un estudio sobre tecnología lítica de cazadores-recolectores y la construcción de paisajes arqueológicos en los macizos del Deseado y de Somuncurá", dirigido por el Dr. Darío Hermo.

La localidad arqueológica Laguna Azul está ubicada en la porción rionegrina de la meseta de Somuncurá (Figuras 1 y 2), un macizo comprendido entre los 66° y 68° de longitud O y 41° y 43° de latitud S. Esta altiplanicie supera en varios sectores los 1000 msnm, y presenta estructuras volcánicas positivas, como sistemas serranos, domos y mesillas, así como bajos de distintas dimensiones generados por procesos erosivos (Miotti et al., 2016). Desde el punto de vista biogeográfico, la meseta de Somuncurá pertenece a la Región Neotropical, donde confluyen las provincias de Monte y Patagónica, correspondientes a los dominios Chaqueño y Andino-Patagónico, respectivamente (Cabrera, 1971).

FIGURA 1. Ubicación de Laguna Azul, en la meseta de Somuncurá, provincia de Río Negro.



En varios sectores de este macizo, entre los que se incluye Laguna Azul, se registraron estructuras de piedra de distintas morfologías, destacándose las rectas, semicirculares o parapetos (ver Figura 3), anulares y monticulares, en algunos casos con gran cantidad de materiales arqueológicos (Miotti et al., 2016). Estas construcciones se han vinculado a actividades como acecho, caza, reparo y tratamiento de los muertos (Miotti et al., 2014; Miotti et al., 2016; Prates & Mange, 2016; Vargas Gariglio, Terranova & Lynch, 2019).

La localidad arqueológica Laguna Azul se emplaza

en la porción oriental de la meseta, en un bajo con dimensiones de 1000 m en sentido este-oeste y 600 m en sentido norte-sur. Sobre las bardas de la margen norte de la laguna se da la mayor concentración de estructuras semicirculares (ver Figura 2), algunas de las cuales están interconectadas (Miotti et al., 2014). Hasta el momento se realizaron excavaciones en tres de ellas: los parapetos 1 y 2, correspondientes al sector 3, y el Parapeto 3, perteneciente al sector 1. Estos sectores, separados por una distancia de aproximadamente 250 m, se definieron en base a las concentraciones de material arqueológico y la agrupación de estructuras de

pedra. Los parapetos 1 y 2, de morfología semicircular, se encuentran a una distancia de aproximadamente 5 m. El primero de ellos posee 4,7 m de cuerda y 2,7 m de profundidad, y el segundo 5,9 m de cuerda y 5,5 m de profundidad. El Parapeto 3, por su parte, es de morfología compuesta, constituido por tres semicírculos de piedra, de los cuales fue excavado el más meridional, que presenta una cuerda de 4,7 m y 2,3 m de profundidad. Este sitio es hasta la actualidad el

único de los tres con dataciones radiocarbónicas, cuyas fechas, provenientes de dos niveles de la excavación, oscilan entre 1906 ± 26 AP y 1756 ± 28 AP (Miotti et al., 2016), vinculando las ocupaciones de la localidad al Holoceno tardío. En este momento aparecen señales fuertes de ocupación en el sector central de la meseta de Somuncurá, para el cual contamos con fechados desde ca. 2100 años AP hasta momentos históricos (Terranova, 2013; Terranova & Marchionni, 2010).

FIGURA 2. Laguna Azul. Se señalan los dos sectores de la margen norte con estructuras semicirculares: el sector 1, donde se emplaza el Parapeto 3, y el sector 3, que abarca los parapetos 1 y 2.

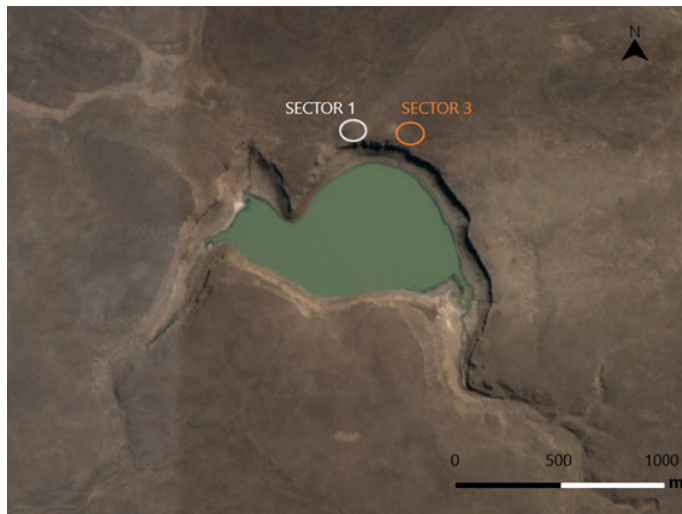
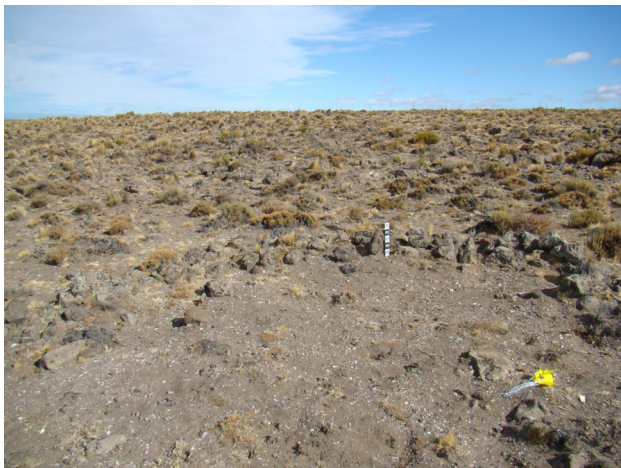


FIGURA 3 Estructura de piedra semicircular (Parapeto 1), en el sector norte de Laguna Azul.



Entre los materiales arqueológicos más frecuentes hallados en los tres sitios se encuentran puntas de proyectil, raspadores, restos óseos, tiestos cerámicos, manos y morteros (Vargas Gariglio et al., 2019). No obstante, la clase artefactual dominante es la de los desechos de talla, cuyo análisis pormenorizado conlleva una gran cantidad de tiempo. Una alternativa que permite procesar de manera más ágil este tipo de materialidades es el análisis en masa (Ahler, 1989), metodología que se concentra en los conjuntos líticos y no en las piezas individuales.

En este contexto, el presente trabajo constituye un primer paso en el análisis de los desechos de talla de tres estructuras de piedra excavadas entre los años 2014 y 2019 en la localidad arqueológica Laguna Azul. Los objetivos del análisis son: a) conocer las actividades de talla que se llevaron a cabo en los sitios arqueológicos Parapeto 1, Parapeto 2 y Parapeto 3 a través del estudio de los desechos líticos; b) identificar las diferentes etapas de la cadena operativa de producción lítica para cada materia prima registrada; c) evaluar el aprovechamiento diferencial de las distintas materias primas, teniendo en cuenta factores como la distancia a las fuentes de aprovisionamiento.

- **Fuentes de aprovisionamiento de materias primas**

En este apartado se sintetiza la información conocida sobre la fuente de aprovisionamiento de las materias primas evaluadas en el presente trabajo. Para más información ver Hermo, Terranova, Mosquera & Frutos, 2013; Hermo & Terranova, 2016; Stern, Gómez Otero & Belardi, 2000; Stern, Castro, Pérez de Micou, Méndez & Mena, 2013; Vargas Gariglio et al., 2019.

- **calcedonia**

La única fuente cercana conocida hasta el momento es la cantera Pazos (Vargas Gariglio et al., 2019), a 1 km de Laguna Azul. Esta materia prima aparece en forma de cantos de tamaños variados, no superando los 15 cm (Vargas Gariglio et al. 2019).

- **sílice**

Aflora de manera primaria en los cañadones Martel y El Rincón, de alrededor de 25 cm, y en forma de

rodados de menor tamaño en cursos de agua aledaños, a una distancia de 130 km en línea recta a Laguna Azul (Herme et al., 2013; Herme & Terranova, 2016).

- **obsidiana**

La obsidiana posiblemente proceda del sur de la meseta de Somuncurá, donde se encuentran las dos fuentes de aprovisionamiento más cercanas conocidas hasta el momento, Sacanana y Sierra Negra (al este de Telsen) (Stern et al., 2000; Stern et al., 2013), a una distancia de aproximadamente 200 km en línea recta de Laguna Azul. En la primera, la obsidiana aparece en forma de rodados de tamaño guijarro, mientras que en Sierra Negra se hallaron cantos que alcanzan los 11 cm (Stern et al., 2000).

- **basalto**

Es una materia prima de muy fácil acceso, ya que los afloramientos de basalto son muy comunes en la porción de la meseta donde se emplaza Laguna Azul. Es el material utilizado para la construcción de los parapetos, y se encuentra disponible en bloques de gran tamaño a escasos metros de ellos.

MATERIALES Y MÉTODOS

Los materiales que se analizan en este trabajo corresponden a los desechos de talla de los sitios Parapeto 1, Parapeto 2 y Parapeto 3 de Laguna Azul. En los tres se excavaron cuadrículas de 1 m² utilizando niveles artificiales de 5 cm hasta alcanzar la roca base, que en el primero se encontró a los 50 cm de profundidad, a los 45 cm en el segundo y en el tercero a los 40 cm. Las cuadrículas de 1 m² fueron divididas en cuatro sectores de 0,25 m² (SE, NE, SO y NO). Realizamos un muestreo que consistió en elegir de manera azarosa uno de los cuatro sectores de 0,25 m², ya que los materiales recolectados estaban distribuidos homogéneamente y, en consecuencia, el registro recogido en cada una de las divisiones no varía significativamente. Así, para los tres sitios se analizó el sector SE, que en el Parapeto 1 consta de 1728 desechos, 2401 para el Parapeto 2 y 681 en el Parapeto 3. Las materias primas identificadas en todos los casos son calcedonia, sílice, basalto y obsidiana.

El estudio de los desechos se realizó con un enfoque en los conjuntos, lo que permite procesar grandes cantidades de artefactos en un tiempo considerablemente menor al que conlleva el análisis individual de los subproductos de talla (Ahler, 1989). El proceso se apoyó en las variables materia prima, estado de fragmentación –distinguiendo entre lascas enteras, fracturadas con talón y fracturadas sin talón–, tamaño, cantidad y peso. Una premisa fundamental en este tipo de estudios es que el tamaño promedio de los desechos de la talla decrece hacia las etapas ulteriores de la cadena operativa (Andrefsky, 1998; Cordero, 2007; Shott, 1994).

Los pasos seguidos fueron los siguientes:

- 1) clasificación de los desechos según las materias primas;
- 2) distinción de los subproductos de talla de acuerdo a su estado de fragmentación, discriminando entre lascas enteras, fragmentadas (con talón) y fragmentos de lascas (sin talón) (Cordero, 2007);
- 3) separación de todos los desechos de talla en base al tamaño, diferenciando los menores a un centímetro de aquellos que superan esta medida. La elección de estas categorías se basa en que en el grupo de los menores a 1 cm se ven representadas las etapas finales de manufactura y de reactivación de filos, mientras que el de los mayores abarca etapas anteriores de la cadena operativa. Para este paso se utilizó un soporte gráfico impreso en el que se colocó la cara ventral de los artefactos, evidenciando si superaban o no el límite establecido;
- 4) pesado de cada subconjunto (por materia prima y estado de fragmentación).

Para controlar la sobrerrepresentación que se genera al contabilizar los diferentes fragmentos de una misma lasca fracturada en dos o más partes, se determinó el número mínimo de desechos (NMD) (Aschero, Manzi & Gómez, 1993-1994), es decir, la suma entre las lascas enteras y las fragmentadas con talón. De esta manera, los fragmentos de lascas (sin talón) no fueron incluidos en el cálculo de la cantidad de desechos, pero sí a la hora de pesar los conjuntos y evaluar su estado de fragmentación.

A su vez, aplicamos estadísticas descriptivas de los conjuntos trabajados, lo que nos permitió generar

información sobre la estructura de los mismos (Bradbury & Carr, 1995; Chatters, 1987; Crivelli & Fernández, 2004; Davis, 1993). En primer lugar, calculamos a partir del peso en qué frecuencia se usó cada materia prima. Consideramos que esta variable permite evaluar de manera más precisa la incidencia de las diferentes rocas en relación a la cantidad de desechos, la cual no tiene en cuenta el tamaño de los mismos, por lo que las materias primas pueden verse sub o sobrerrepresentadas.

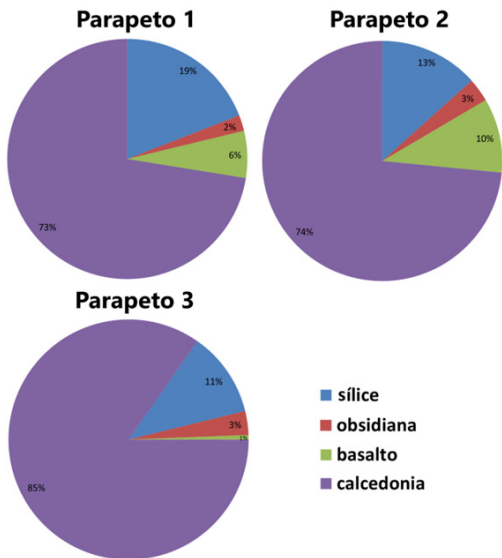
La comparación entre los pesos de las rocas analizadas se fundamenta en que poseen densidades muy similares, perteneciendo al grupo de las rocas medianamente pesadas (Océano Ámbar, 2003). Para medirlas utilizamos el método de la probeta para sólidos irregulares, que consiste en colocar una cantidad de agua en una probeta (volumen inicial o v_i), introducir un sólido cuya masa es conocida (peso), tomar nuevamente el volumen (volumen final o v_f) y calcular la densidad mediante la fórmula $d = \text{peso} / (v_f - v_i)$. Los valores obtenidos fueron: sílice, 2,5 g/ml; obsidiana, 2,4 g/ml; basalto, 2,3 g/ml; calcedonia, 2,5 g/ml. Consideramos despreciables las diferencias entre la densidad de cada roca y, por ello, justificamos la utilización del peso sin realizar ninguna corrección.

Luego, para los tres sitios contrastamos el NMD con el peso del NMD, con el fin de reconocer y comparar para cada materia prima tendencias en el peso de los subproductos de talla, partiendo de la premisa de que en etapas ulteriores de la cadena operativa el peso de los desechos es menor. Finalmente, evaluamos el estado de fragmentación de los subproductos de talla en cada parapeto contrastando el número de lascas enteras con el de fracturadas (con y sin talón).

RESULTADOS

Como se observa en la Figura 4, la materia prima predominante en los tres parapetos es la calcedonia, seguida por el sílice. En los parapetos 1 y 2, en tercer lugar, se encuentra el basalto y luego la obsidiana, mientras que en el Parapeto 3 el orden de estas últimas materias primas se invierte. La preponderancia del uso de calcedonia se acentúa en el Parapeto 3, en el cual le corresponde el 85% del peso de los desechos.

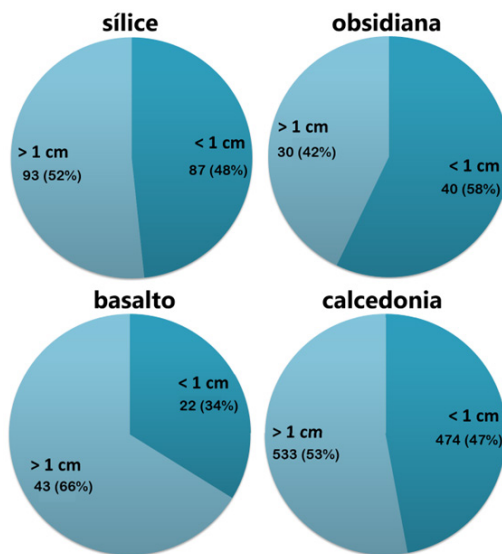
FIGURA 4. Proporciones de las diferentes materias primas en cada uno de los parapetos, calculadas a partir del peso de los desechos.



Teniendo en cuenta la cercanía de las fuentes de aprovisionamiento de calcedonia y basalto, esperamos que la cadena operativa de esas materias primas se vea representada de forma más completa que la de sílice y obsidiana, cuya procedencia es significativamente más lejana. Para evaluarlo, comparamos los tamaños de las lascas enteras para cada materia prima, esperando que la calcedonia y el basalto muestren mayor proporción de lascas > 1 cm que las materias primas alóctonas. Como se puede ver en la Figura 5, el basalto y la obsidiana se comportan de acuerdo a lo planteado, el primero con un 66% de lascas > 1 cm (N=43) y la segunda con 42% (N=30). Los desechos de sílice y calcedonia, por su parte, presentan relaciones similares, con poco más de la mitad de las lascas –52% (N=93) para la primera y 53% (N=533) para la segunda– con un tamaño mayor a un centímetro. Este resultado se aleja de lo esperado, ya que dos materias primas con masas iniciales similares y cuyas fuentes de aprovisionamiento conocidas difieren significativamente en su distancia a Laguna Azul muestran porcentajes semejantes de mayores y menores a 1 cm.

Al evaluar el estado de fragmentación de los conjuntos (Figura 6), tenemos que Parapeto 1 es el sitio con mayor porcentaje de desechos fracturados, un 82% (N=1386), mientras que los parapetos 2 y 3 presentan proporciones menores, 64% (N=1557) y 56% (N=355), respectivamente. Estos resultados podrían explicarse por una actividad humana más intensa y un mayor pisoteo en el sitio Parapeto 1.

FIGURA 5. Proporción de lascas mayores y menores a 1 cm de las distintas materias primas presentes en los tres parapetos.



Por otra parte, al comparar el peso del NMD con el NMD¹, obtuvimos resultados similares en los parapetos 1 y 2, con desechos que en promedio pesan más de 1 g para todas las materias primas excepto la obsidiana (Figuras 7 y 8). Los desechos del sitio Parapeto 3, en cambio, son en promedio menores a un gramo para todas las materias primas (Figura 9), lo cual podría ser consecuencia de la representación de las últimas etapas de la manufactura de instrumentos líticos y/o de un mayor estado de fragmentación de las lascas. Teniendo en cuenta que Parapeto 3 es el sitio con el conjunto lítico menos fragmentado (55% de lascas fracturadas), se descarta esta última posibilidad.

FIGURA 6. Evaluación del estado de fragmentación de los conjuntos. Se comparan desechos enteros y fracturados (con y sin talón).

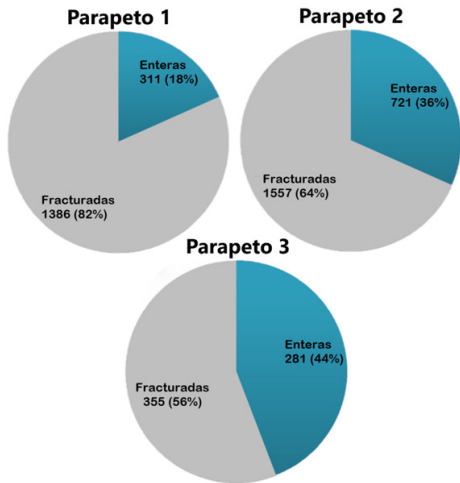


FIGURA 7. Relación entre el peso en gramos del NMD y el NMD del Parapeto 1.

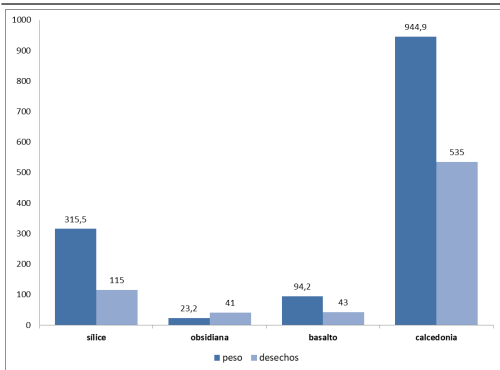


FIGURA 8. Relación entre el peso en gramos del NMD y el NMD del Parapeto 2.

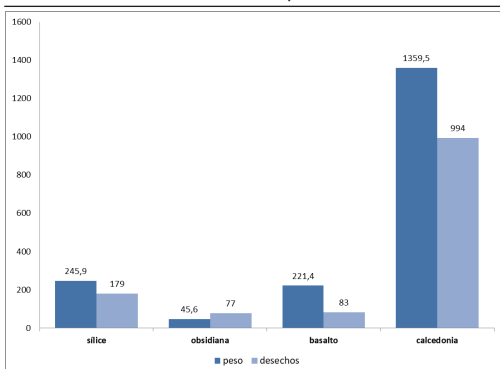
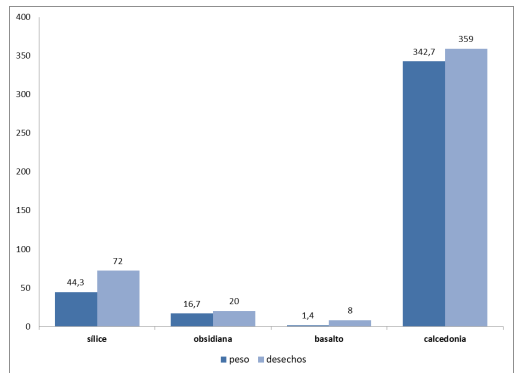


FIGURA 9. Relación entre el peso en gramos del NMD y el NMD del Parapeto 3.



DISCUSIÓN Y CONCLUSIONES

El análisis en masa de los desechos de talla es una metodología útil para un primer acercamiento a este tipo de evidencia material. En un tiempo significativamente menor al que requiere el análisis individual de los desechos líticos, logramos arribar a una serie de resultados que nos permite indagar acerca de las decisiones y actividades que se llevaron a cabo en Laguna Azul durante el Holoceno tardío. Es importante marcar que estos dos tipos de análisis, en masa e individual, no son opuestos, sino que pueden complementarse, siendo el primero parte de una etapa inicial y el segundo de una posterior que profundice en aspectos más particulares del proceso de talla lítica.

La utilización de las categorías de tamaño mayor y menor a un centímetro fue útil para identificar las últimas etapas de la cadena operativa y mantenimiento de filos. No obstante, estos grupos no permiten discriminar los estadios más tempranos del proceso de talla. Por ello, consideramos pertinente incorporar clasificaciones utilizadas por otros autores (i.e. Andrefsky, 1998; Ahler, 1989; Aschero, 1975, 1983) para lograr un acercamiento más preciso y completo.

La materia prima más utilizada fue la calcedonia, ocupando alrededor del 75% del total en los parapetos 1 y 2, e incluso más en el Parapeto 3. Este porcentaje se explica parcialmente si tenemos en cuenta la cercanía de las fuentes de aprovisionamiento de esta materia prima a Laguna Azul. Sin embargo, si consideramos que

el basalto es una materia prima de calidad regular para la talla y aflora de manera conspicua en la localidad, la preponderancia de la calcedonia no es explicable sólo por su fácil acceso, sino que otros criterios tecnológicos y/o estéticos debieron haber influido en esta preferencia (Herms, 2008).

El sílice, materia prima cuyas fuentes de aprovisionamiento son significativamente más lejanas, aparece en menores cantidades que la calcedonia, lo que se condice con su condición de alóctona. Sin embargo, ambas materias primas arrojan resultados similares en cuanto al tamaño de los desechos. Esto, como dijimos, se aleja de lo esperado, es decir, que una materia prima local tienda a presentar un promedio mayor de tamaño de desechos, debido a que se encuentran representadas etapas de la producción de artefactos líticos diferentes a la formatización final y mantenimiento de filos. La obsidiana, por su parte, aparece en proporciones bajas y con gran mayoría de desechos menores a un centímetro en los tres parapetos.

Las dos materias primas alóctonas aquí evaluadas son el sílice y la obsidiana. La primera de ella es significativamente más abundante y con una representación menor de las últimas etapas del proceso de talla en relación a la obsidiana. Esto posiblemente tenga que ver con los mayores tamaños de las masas iniciales y la menor distancia de las fuentes de aprovisionamiento, lo que permite que llegue en grandes cantidades y tamaños a los sitios estudiados.

La predominancia de lascas de obsidiana menores a un centímetro es común a los tres parapetos, lo que se explica si tenemos en cuenta su escasez, su condición de alóctona y el reducido tamaño de sus masas iniciales. En contraposición a lo ocurrido en los parapetos 1 y 2, en el Parapeto 3 las demás materias primas también presentan predominancia de desechos menores a un cm y, teniendo en cuenta que los tres sitios se encuentran prácticamente a la misma distancia de las fuentes de aprovisionamiento, la causa de las diferencias no tiene que ver con ella. Al parecer, en este sitio se llevaron a cabo las últimas etapas de la manufactura de instrumentos y/o su mantenimiento y reciclado, mientras que en los parapetos 1 y 2 la cadena operativa se muestra de manera más completa.

El Parapeto 3, además, es el sitio con menor cantidad de desechos y el conjunto menos fragmentado, fenómeno que puede estar indicando una menor actividad humana en comparación con los parapetos 1 y 2. El primero de ellos presenta una fragmentación de los desechos sensiblemente mayor y una cantidad de artefactos líticos intermedia, mientras que Parapeto 2 es el sitio con más desechos de talla, y un conjunto moderadamente fragmentado.

Los resultados presentados en este trabajo representan un aporte en las interpretaciones acerca del uso de las materias primas en la localidad arqueológica Laguna Azul. El volumen de artefactos analizado, aun representando una muestra de lo registrado en las excavaciones, nos permitió generar alternativas interpretativas a determinados aspectos de la organización tecnológica y hacernos nuevas preguntas sobre las formas en que las sociedades cazadoras-recolectoras de Patagonia ocuparon la Meseta de Somuncurá.

AGRADECIMIENTOS

A Betina Rodríguez de la División de Mineralogía de la Facultad de Ciencias naturales y Museo (UNLP) por sus aportes bibliográficos. A los evaluadores de la revista por sus correcciones y sugerencias.

NOTAS

1. Por sugerencia del evaluador se comparó la cantidad de lascas enteras con el peso de este grupo. Como los resultados prácticamente no difirieron de los obtenidos al contrastar peso del NMD con el NMD, se decidió conservar el original.

REFERENCIAS BIBLIOGRÁFICAS

Ahler, S. A.
(1989). *Mass analysis of flaking debris: studying the forest rather than the tree*. *Archeological papers of the American anthropological association*, 1, 85-118.
<https://anthrosource.onlinelibrary.wiley.com/doi/abs/10.1525/ap3a.1989.1.1.85>

- Andrefsky, W.**
(1998). *Lithics-Macroscopic approaches to analysis*. Cambridge Manuals. Archaeology. Cambridge.
- Aschero, C.**
(1975). *Ensayo para una clasificación morfológica de artefactos líticos aplicada a estudios tipológicos comparativos*. Informe al CONICET. Manuscrito inédito.
- Aschero, C.**
(1983). *Ensayo para una clasificación morfológica de artefactos líticos aplicada a estudios tipológicos comparativos*. Cátedra de Ergología y Tecnología (FFyL-UBA). Apéndices A - C. Revisión. Manuscrito inédito.
- Aschero, C.; Manzi, L. M. & Gómez, A. G.**
(1993-94). *Producción lítica y uso del espacio en el nivel 2b4 de Quebrada Seca 3*. Relaciones de la Sociedad Argentina de Antropología, 19, 191-214.
<https://www.saanropologia.com.ar/wp-content/uploads/2015/01/Relaciones%2019/11-%20Aschero%20et%20al%20ocr.pdf>
- Bradbury, A. P. & Carr, P. J.**
(1995). *Flake Typologies and Alternative Approaches: An Experimental Assessment*. Lithic Technology, 20(2), 100-116. <https://www.jstor.org/stable/23273168>
- Cabrera, A. L.**
(1971). *Fitogeografía de la República Argentina*. Boletín de la Serie Botánica, 14 (1-2), 1-42.
- Chatters, J.**
(1987). *Hunter-gatherer adaptations and assemblage structure*. Journal of Anthropological Archaeology, 6(4), 336-375.
[https://doi.org/10.1016/0278-4165\(87\)90005-5](https://doi.org/10.1016/0278-4165(87)90005-5)
- Cordero, J. A.**
(2007). *Análisis en masa de desechos de talla: buscando patrones de la vida cotidiana en el registro arqueológico de superficie*. En F. Morello, M. Martinic, A. Prieto & G. Bahamonde (Eds.), *Arqueología de Fuego-Patagonia*. Levantando piedras, desenterrando huesos... y develando arcanos (pp. 479-492). Punta Arenas: Ediciones CEQUA.
- Crivelli, E. & Fernández, M.**
(2004). *Algunas propuestas para el análisis cuantitativo de conjuntos líticos*. En A. Acosta, D. Loponte & M. Ramos (Eds.), *Temas de Arqueología, Análisis Lítico* (pp. 27-57). Buenos Aires.
- Davis, D.**
(1993). *Archaic blade production on Antigua, West Indies*. American Antiquity, 58, 688-697.
<https://www.cambridge.org/core/journals/american-antiquity/article/abs/archaic-blade-production-on-antigua-west-indies/15245409865418F354217115361FAC94>
- Hermo, D. O.**
(2008). *Rocas como símbolos: la selección de materias primas para puntas de proyectil en ambientes mesetarios de Patagonia*. Intersecciones en antropología, 9, 319-324.
http://www.scielo.org.ar/scielo.php?script=sci_arttext&pid=S1850-373X2008000100024
- Hermo, D., Terranova, E., Mosquera, B., & Frutos, J.**
(2013). *Base regional de recursos líticos en la Meseta de Somuncurá: primeros resultados en la cuenca del Arroyo Talagapa (Río Negro)*. En A. F. Zangrando, R. Barberena, A. Gil, G. Neme, M. Giardina, L. Luna, C. Otaola, S. Paulides, L. Salgán & A. Tivoli (Eds.), *Tendencias Teórico-Metodológicas y casos de estudio en la arqueología de la Patagonia* (pp. 109-117). Museo de Historia Natural de San Rafael.
- Hermo, D. O., & Terranova, E. D.**
(2016). *Distribución de núcleos en el sector central de la meseta de Somuncurá (Río Negro, Argentina)*. *Relaciones entre la base regional de recursos líticos y el aprovisionamiento de materias primas líticas*. Arqueología, 22(2), 291-310.
<http://revistascientificas.filo.uba.ar/index.php/Arqueologia/article/view/3207/2873>

- Miotti, L.; Blanco, R. V.; Terranova, E.; Marchionni, L.; Hermo, D. O. & Mosquera, B.**
(2014). *La naturaleza de la observación: evidencias arqueológicas en Somuncurá (Río Negro)*. En Cassiodoro, G.; Rindel, D. y Re, A. (Eds.), Integración de diferentes líneas de evidencia en arqueología argentina, (pp. 73-91). Editorial Aspha.
http://naturalis.fcnym.unlp.edu.ar/repositorio/_documentos/sipcyt/bfa005583.pdf
- Miotti, L., Terranova, E., Blanco, R. V., Marchionni, L., Hermo, D. O. & Magnin, L.**
(2016). *Entre basaltos y lagunas: las estructuras de piedra de la meseta de Somuncurá. Apuntes para la reflexión de los patrones de movilidad de los cazadores-recolectores*. Arqueología de la Patagonia: de Mar a Mar (pp 256-266). Santiago de Chile: Ediciones CIEP / Ñire Negro Ediciones.
http://naturalis.fcnym.unlp.edu.ar/repositorio/_documentos/sipcyt/bfa005994.pdf
- Oceano Ambar (Ed.).**
(2003). *Minerales y Rocas*. Guías Visuales Océano. España. ISBN: 84-494-1424-5.
- Prates, L. & E. Mange.**
(2016). *Paisajes de tránsito y estaciones en las planicies y bajos del centro-este de Norpatagonia*. Relaciones de la Sociedad Argentina de Antropología, 41(1), 217-236.
<https://www.saanropologia.com.ar/wp-content/uploads/2016/08/10-Prates-y-Mange.pdf>
- Shott, M. J.**
(1994). *Size and form in the analysis of flake debris: review and recent approaches*. Journal of archaeological method and theory, 1(1), 69-110.
- Stern, Ch., J. Gómez Otero & J. B. Belardi.**
(2000). *Características químicas, fuentes potenciales y distribución de diferentes tipos de obsidianas en el norte de la provincia del Chubut, Patagonia argentina*. Anales del Instituto de la Patagonia, Serie Ciencias Humanas, 28, 275-290.
https://ri.conicet.gov.ar/bitstream/handle/11336/81253/CONICET_Digital_
- [Nro.8cae2a01-c3b7-4df4-92ea-0b44874e0565_B.pdf?sequence=5&isAllowed=y](http://nro.8cae2a01-c3b7-4df4-92ea-0b44874e0565_B.pdf?sequence=5&isAllowed=y)
- Stern, C. R., Castro, A., Pérez de Micou, C., Méndez, C., & Mena, F.**
(2013). *Circulación de obsidianas en Patagonia Central-Sur entre 44 y 46 S*. Tendencias teórico-metodológicas y casos de estudio en la arqueología de la Patagonia, 243-250.
- Terranova, E.**
(2013). *Arqueología de la Cuenca de Talagapa. Meseta de Somuncurá (provincia de Río Negro)*. (Tesis doctoral inédita), Universidad Nacional de La Plata, Argentina.
<http://sedici.unlp.edu.ar/handle/10915/35034>
- Terranova, E. & Marchionni, L.**
(2010). *Excavación del Sitio Los Cuatro Aleros, Localidad Tapera de Isidoro, Meseta de Somuncurá, Río Negro. Primeros Fechos para la Ocupación Humana en el Área*. En J. R. Bárcena & H. Chiavazza (Eds.), Actas del XVII Congreso Nacional de Arqueología Argentina, Arqueología Argentina en el Bicentenario de la Revolución de Mayo, 5 (1993-1998). Mendoza: Universidad Nacional de Cuyo.
- Vargas Gariglio, J.; Terranova, E. & Lynch, V.**
(2019). *Estudio preliminar del parapeto 3 de Laguna Azul, Meseta de Somuncurá (Río Negro, Argentina)*. En J.G. Otero, A. Svoboda & A. Banegas (Eds.), Arqueología de Patagonia: El pasado entre las arenas (pp. 443-454). Puerto Madryn: Instituto de Diversidad y Evolución Austral.